

Б. 90

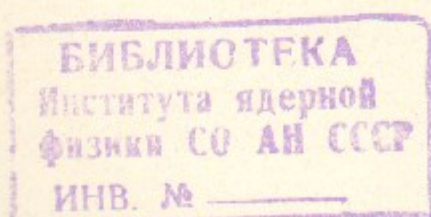
65

ИНСТИТУТ
ЯДЕРНОЙ ФИЗИКИ СОАН СССР

ПРЕПРИНТ И ЯФ 76 - 92

Г.И.Будкер, А.Ф.Булушев, Н.С.Диканский
В.И.Конопов, В.И.Куделайнен, И.Н.Мешков,
В.В.Пархомчук, Д.В.Пестриков, А.Н.Скринский
Б.Н.Сухина

НОВЫЕ РЕЗУЛЬТАТЫ ИССЛЕДОВАНИЙ
ПО ЭЛЕКТРОННОМУ ОХЛАЖДЕНИЮ



Новосибирск

1976

НОВЫЕ РЕЗУЛЬТАТЫ ИССЛЕДОВАНИЙ ПО ЭЛЕКТРОННОМУ
ОХЛАЖДЕНИЮ

Г.И.Будкер, А.Ф.Булушев, Н.С.Диканский, В.И.Кононов,
В.И.Куделайнен, И.Н.Мешков, В.В.Пархомчук, Д.В.Пестриков,
А.Н.Скиринский, Б.Н.Сухина

А Н Н О Т А Ц И Я

Описываются эксперименты по электронному охлаждению, проведенные после модернизации установки НАП-М. Измерения показали, что время затухания бетатронных колебаний уменьшалось обратно пропорционально электронному току и при токе 0,8 А составило в 3 мсек (энергия протонов 65 МэВ). Обсуждаются возможные причины неожиданно малого значения времени затухания. Приведены результаты экспериментов по охлаждению сгруппированного протонного пучка. Кратко описаны эксперименты по электронному охлаждению протонного пучка низкой энергии (1,5 МэВ).

Изложено описание нового в модернизированной линии резонатора тока с группировкой протонного и модулированного магнитного пучков в тороидальном зазоре 0,5 м. В переднем участке схемы имеется система отклонения пучка с помощью магнитных линз и катушек для изменения фазы, симметризации контуров сечений пучка и, следовательно, зазора между пучками. При токе в резонаторе 400 мк кольцевой ток вспомогательных катушек 20 мА, это соответствует рабочему на участке потери $7 \cdot 10^{-3}$ току и среднему зазору в 10 см. Стартовая акселерация протонного пучка связана с конформной радиационной плотностью протонного пучка во входящей в зону изгиба зонтичной струе (3).

Таким образом, параметры приведены в таблице 1.

Легализованный рабочий диапазон пучка был измерен на базе зарядка по разности токов первичной и второй зондеров, образующихся при работе магнитной и бегущей радиационной решетки.

ЧИНОВНИКСА ОТ ВСЕРОССИЙСКОГО ИНСТИТУТА ФИЗИКИ
ЧАСТОТЫ

Соловьев, Н.Н., Денисовский, О.И., Поповский, Ю.А., Чекановский,
Бондарев, Б.Д., Чирковский, Е.С., Борисов, Н.Н., Чемерисский, В.И.,
Виноградов, Н.В., Балашов, О.Н.А.

КИНЕМАТОКА

—одн. «академико-членоотдела» по именему этого накопителя
—составленный М-ПАН включает введение в образ накопите-
—тельного коэффициента Капельской характеристики ионов от 0,5 до
—около 0,8, что в свою очередь обусловлено тем, что
—при одинаковом катодном токе в накопителе с ионизацией ионов
—все ионизационные процессы ионизируются в накопителе с ионизацией
—ионов от протонов ионизируются в накопителе с ионизацией
—ионов от протонов ионизируются в накопителе с ионизацией

Первый цикл исследований по электронному охлаждению был за-
кончен в ИЯФ СО АН СССР в мае 1975 г. Основные результаты, по-
лученные к этому времени /1-3/, оказались в хорошем согласии с
теоретическими представлениями, развитыми в работах /4,5/. В ян-
варе 1976 г. закончена модернизация экспериментальной установки
и начат следующий этап исследований.

Модернизация накопителя НАП-М была направлена в первую оче-
редь на улучшение вакуумных условий. В вакуумных камерах квад-
рантов магнитной системы были смонтированы испарители сорбцион-
ных насосов, позволившие производить распыление титана по всей
длине камеры. В установке с электронным пучком введены прогревная
вакуумная камера, сорбционные насосы на участке охлаждения и в
"плечах" установки, где расположены электронная пушка и коллек-
тор, а также значительно увеличена скорость откачки в электрон-
ной пушке и введено масляное охлаждение катодного узла пушки, что
уменьшило гажение её "теплых" элементов. Диаметр катода был уве-
личен до 20 мм, из-за чего импрегнированный катод заменен оксид-
ным. По-прежнему использован электронный подогрев катода. Введе-
ние дополнительного запирающего электрода в коллекторе позволило
сохранить высокую эффективность рекуперации ($\Delta J_e/J_e \leq 5 \cdot 10^{-5}$,
 $U_{\text{колл}} \approx -2$ кВ) при увеличенном до 40 мм диаметре входного отверстия
коллектора. На концах участка охлаждения были помещены две пикап-
станции, позволившие измерять координаты центра тяжести сгруппи-
рованного протонного и модулированного электронного пучков с точ-
ностью лучше 0,5 мм. В середине участка охлаждения были установ-
лены сетки очистки электронного пучка от ионов и измерительные
пластины, позволившие контролировать ионный ток и, следовательно,
вакуум на участке встречи. При токе электронов 400 мА ионный ток
насыщения составлял 20 нА, что соответствует вакууму на участке
встречи $7 \cdot 10^{-9}$ торр и среднему вакууму в накопителе около
 $5 \cdot 10^{-10}$ торр. Система индикации протонного пучка была дополнена
измерителем распределения плотности протонного пучка по радиаль-
ной координате (метод магниевой струи /3/).

Типичные параметры эксперимента приведены в таблице I.

Установившийся размер протонного пучка был измерен наиболее
надежно по размеру пучка нейтральных атомов водорода, образующих-
ся на участке охлаждения в результате радиационной рекомбинации

протонов с электронами /I-3/. Атомы водорода, выведенные через аппендиц вакуумной камеры, регистрировались ядерной фотоэмulsionью. Размеры "изображения" на фотоэмulsionи a_n и протонного пучка a_p на участке охлаждения однозначно связаны через геометрические размеры и β -функция накопителя. Пересчетом a_n в a_p и получено приведенное в табл. I.

Таблица I. Типичные параметры эксперимента и результаты по охлаждению протонов

Энергия протонов	- 65 МэВ
Энергия электронов	- 35 КэВ
Диаметр катода электронной пушки	- 20 мм
Ток электронов J_e	- $0,1 \pm 0,8$ А
Ток протонов J_p	- 20 ± 100 мкА
Средний вакуум	- $5 \cdot 10^{-10}$ Торр
Установившийся размер (диаметр) протонного пучка в середине промежутка	- 0,47 мм
Время охлаждения ($J_e = 0,8$ А) T_e	- 83 мсек
Время жизни протонов в режиме охлаждения	- более 8 часов
Эффективная температура электронов	- 0,25 эВ
Удельный поток нейтральных атомов водорода $J_e^{-1} J_p^{-1} (dN/dt)$	- $80 \text{ A}^{-1} \text{мкA}^{-1} \text{сек}^{-1}$

значение диаметра протонного пучка. Ему соответствует температура электронов в системе частиц /3,4/.

$$T_e = 0,23 \pm 0,07 \text{ эВ}$$

Поток нейтральных атомов водорода составлял $2 \cdot 10^3 \text{ сек}^{-1}$ при $J_e = 0,4$ А и $J_p = 80$ мкА. Такой скорости рекомбинации соответствует температура электронов в системе частиц /6/

$$T_e = 0,24 \pm 0,06 \text{ эВ}$$

(При оценке T_e по скорости рекомбинации учтена несимметрия функции распределения электронов: $T_{\parallel} \ll T_e$, см. ниже).

Продольная сила трения F_{\parallel} измерялась с помощью методики, применявшейся в работе /3/ - по скорости изменения среднего радиуса орбиты протонов R_o в охлажденном пучке после малого скачкообразного изменения энергии электронов:

$$\frac{dr}{dt} = \frac{\varphi R_o}{P_s} \gamma F_{\parallel} \quad (1)$$

где P_s - импульс протона, φR_o - искажение орбиты при единичном отклонении импульса от равновесного значения, γ - доля орбиты, занятая электронным пучком. В данной работе подобные измерения производились с помощью датчика радиального распределения плотности (вертикальная магниевая струя). Зависимость F_{\parallel} от разности средних скоростей протонов и электронов Δv_e (вносимой скачком энергии) подтвердила представления о "сплющенном" распределении электронов по скоростям /3/: экспериментальные значения $F_{\parallel}(\Delta v_e)$ хорошо совпадают с расчетными (рис. I, сплошная кривая), полученными для распределения электронов по скоростям в системе частиц в форме тонкого диска с размерами

$$\text{"радиус диска"} \Delta v_{\perp} \sim \sqrt{T_e/m}, \quad (2)$$

$$\text{"толщина диска"} 2\Delta v_{\parallel} \sim 2\sqrt{T_{\parallel}/m}, \quad T_{\parallel} = \frac{T_k}{2\gamma^2 \beta^2 m c^2} \rightarrow \frac{T_k^2}{4W} |_{\beta \ll 1}$$

Здесь T_{\parallel}, T_e - "продольная" и "поперечная" температуры электронов в системе частиц, W , β - кинетическая энергия и скорость электронов в лабораторной системе, T_k - эффективная температура катода, включающая кроме истинной температуры термоэмиссионного катода T_k^0 также пульсации и шумы источника напряжения, наподобии и т. п. /3/:

$$T_k = T_k^0 + e \Delta U \quad (3)$$

Выражение для силы трения /5/

$$\vec{F} = - \frac{4\pi e^4 L n_e}{m} \int d^3 v_e \frac{(\vec{v} - \vec{v}_e) f(v_e)}{|\vec{v} - \vec{v}_e|^3} \quad (4)$$

содержит два свободных параметра: температуру электронов T_e , характеризующую функцию распределения $f(v_e)$, и произведение кулоновского логарифма столкновений L на плотность электронов n_e . Подгонкой по методу наименьших квадратов для

$$f(v_e) = \delta(v_{\parallel}) \begin{cases} 1/\pi (\Delta v_{\perp})^2, & v_{\perp} \leq \Delta v_{\perp} \\ 0, & v_{\perp} > \Delta v_{\perp} \end{cases} \quad (5)$$

получено:

$$T_e = 0,28 \pm 0,06 \text{ эВ}, \quad L_{\parallel} n_e = 2,2 \cdot 10^9 \text{ см}^{-3}$$

Для $j_e = 0,3 \text{ A/cm}^2$ это дает $n_e \approx 2 \cdot 10^8 \text{ см}^{-3}$, $L_{\parallel} = 11$.

Измерения $F_{\parallel}(\Delta v_e)$ были проведены также в условиях искусственно увеличенной "толщины диска", для чего энергия электронов модулировалась переменным напряжением $U_m = 30 \text{ В}$ с частотой 500 Гц. Результаты (рис. I, пунктирная кривая) показывают, что "толщина диска" действительно возрастает до значения

$$\Delta v_{\parallel} \sim \sqrt{T_{\parallel}/m} = \frac{e U_m}{mv} \quad (6)$$

(сравни (2)). Здесь e, m — заряд и масса электрона.

Наиболее интересные экспериментальные результаты получены при измерении времени охлаждения τ_e (времени затухания бетатронных колебаний протонов). Использовалась методика, описанная в /2,3/: в предварительно охлажденном пучке протонов ударом инфлектора возбуждались бетатронные колебания и регистрировалось (с помощью измерителя плотности) нарастание плотности пучка во времени под действием электронного охлаждения. Время охлаждения вычислялось ЭВМ, работавшей в режиме *on-line* с измерителем плотности. В диапазоне значений электронного тока $0,1 \pm 0,8 \text{ А}$ время охлаждения уменьшалось пропорционально J_e^{-1} и составляло 83 мсек при $J_e = 0,8 \text{ А}$.

Полученные результаты оказались существенно лучше ожидаемых согласно /4,5/ для электронного пучка со средней плотностью тока порядка $0,1 \pm 0,2 \text{ A/cm}^2$. Поэтому были проведены измерения распределения плотности тока в электронном пучке по свечению газа под действием пучка. Результаты денситометрирования фотографий (атмосфера гелия, давление $3 \cdot 10^{-5} \text{ Торр}$, ток $0,4 \text{ А}$) представлены на рис. 2. Там же показаны зависимости потока нейтральных атомов водорода и времени охлаждения от положения протонного пучка внутри электронного. Все три кривые имеют ярко выраженные максимумы с примерно совпадающей шириной. Плотность тока достигает значения $j_e = 0,3 \text{ A/cm}^2$ при полном токе $0,4 \text{ А}$ (вместо ожидавшихся $0,13 \text{ A/cm}^2$). Тем не менее, остается различие примерно на порядок с результатами предыдущих работ /2,3/ ($\tau_e \approx 5 \text{ сек}$ при $j_e = 0,13 \text{ A/cm}^2$).

Оценки температуры электронов, приведенные выше, дают хорошо совпадающие результаты. Трудности возникают при попытке сопоставления экспериментального значения времени охлаждения с теоретическим, соответствующим температуре $T_e = 0,25 \text{ эВ}$. Единственный свободный параметр, содержащийся в выражении для $F_{\parallel}/4,5/$ — кулоновский логарифм столкновений для передачи импульса от протона электронам в поперечном направлении — пришлось бы принять равным, по порядку величины, 200, что явно несостоительно. Измерения зависимости времени охлаждения от толщины диска в экспериментах с модуляцией энергии электронов дали неожиданно резкую зависимость τ_e от Δv_{\parallel} (6). Оказалось, что τ_e возрастает вдвое при увеличении Δv_{\parallel} всего лишь до $2 \cdot 10^{-3} \text{ эВ}$ (рис. 3). С ростом амплитуды модуляции и, соответственно, Δv_{\parallel} и T_{\parallel} значение

τ_e приближается к расчетному значению τ_m , полученному для силы (4) и "сплющенного" распределения $f(v_e)$. Это свидетельствует, по-видимому, о более сложном характере поведения силы трения в пучке с "замагниченными" электронами и весьма малым разбросом продольных скоростей частиц ($\Delta v_{\parallel}/v_{\perp} \leq 10^{-3}$, см. (2)).

Эксперименты по ускорению протонов электронами, описанные в /1/, были повторены. Удалось достичь увеличения энергии протонов с 65 МэВ до 86 МэВ за время порядка 200 сек без существенной потери частиц.

При охлаждении сгруппированного пучка протонов наблюдалось сжатие сгустка до установившегося размера $\Delta \ell \approx 5 \text{ м}$ (периметр НАЛ-М 47 м). Измеренное при этом время охлаждения τ_e оказалось равным 0,5 сек при $J_e = 0,4 \text{ А}$. Более детальные исследования не проводились.

В экспериментах были обнаружены эффекты, носящие, по-видимому, коллективный характер. При возбуждении бетатронных колебаний протонов предварительно охлажденного пучка сразу же после удара инфлектора происходило быстрое (с характерным временем, меньшим времени разрешения измерителя плотности 0,015 сек) затухание колебаний до некоторого промежуточного значения амплитуды, а затем медленное, с характерным временем τ_e , затухание до установившегося значения. С ростом протонного и электронного токов значение промежуточной амплитуды (при фиксированной начальной) уменьшалось. Так, при $J_e = 400 \text{ мА}$, $J_p = 50 \text{ мкА}$ промежуточная амплитуда

да составляла 1/3 начальной, равной 3 мм, а время τ_e составляло 0,17 сек.

К этому же кругу явлений следует, видимо, отнести наблюдавшуюся неустойчивость протонного пучка в режиме охлаждения: при

$J_p > 60 \text{ мкА}$, $J_e > 200 \text{ мА}$ с характерным временем порядка 50мсек возникала и исчезала самопроизвольная бунчиворка пучка, сопровождавшаяся увеличением его поперечного размера. Неустойчивость исчезала при уменьшении протонного тока до уровня 40 мкА.

Специальный интерес для приложений представляет электронное охлаждение тяжелых частиц низких энергий (порядка МэВ) /2,3/. При этом, однако, может оказаться, что температура катода принципиально не позволяет получить достаточно "холодный" электронный пучок:

$$\frac{\Delta \theta_\perp}{\beta c} \sim \sqrt{\frac{T_k}{2W}} \sim 10^{-2} \quad (7)$$

Были проведены пребные эксперименты по охлаждению протонов низкой энергии на установке НАП-М при следующих значениях параметров: $W_p = 1,4 \text{ МэВ}$ (энергия инжекции), $W_e = 760 \text{ эВ}$, $J_e = 4 \text{ мА}$. Наблюдались все основные эффекты электронного охлаждения: уменьшение поперечных размеров протонного пучка, резонансное увеличение его времени жизни, увлечение протонов электронами при изменении энергии последних.

Л и т е р а т у р а

1. Г.И.Будкер, Н.С.Диканский, В.И.Куделайнен, И.Н.Мешков, В.В.Пархомчук, Д.В.Пестриков, А.Н.Скринский, Б.Н.Сухина. В сб. "Труды IV Всесоюзного сов. по уск. заряженных частиц", т.2, 309 (1975).
2. G.I. Budker, Ya.S. Derbenev, et al. IEEE Trans. on Nucl. Sci. NS-22, N5, 2093 (1975)
3. G.I. Budker, N.S. Dikansky, et al. "Experimental study of electron cooling" Particle Accelerators

4. Г.И.Будкер, АЭ 22, 346 (1967).
5. Ya. S. Derbenev, A.N. Skrinsky. "Kinetiks of electron cooling." Particle Accelerators
6. И.Мак-Даниель. "Процессы столкновений в ионизованных газах". "Мир" (1967).
7. Report of VAPP-NAP Group in Proceedings of 8-th Intern. Conf. on High-Energy Accelerators, CERN, p 72 (1971)

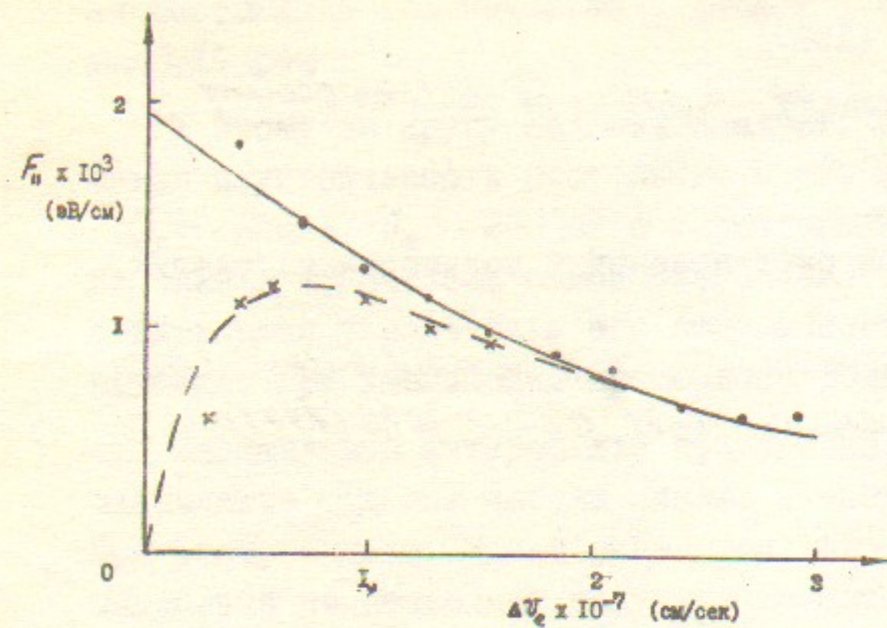


Рис.1. Зависимость продольной силы трения от разности средних скоростей протонов и электронов ΔV_e , вносимой скачкообразным изменением энергии электронов.
Сплошная кривая - расчетная
- - - - эксперимент,
- - - - эксперимент с модуляцией энергии электронов.

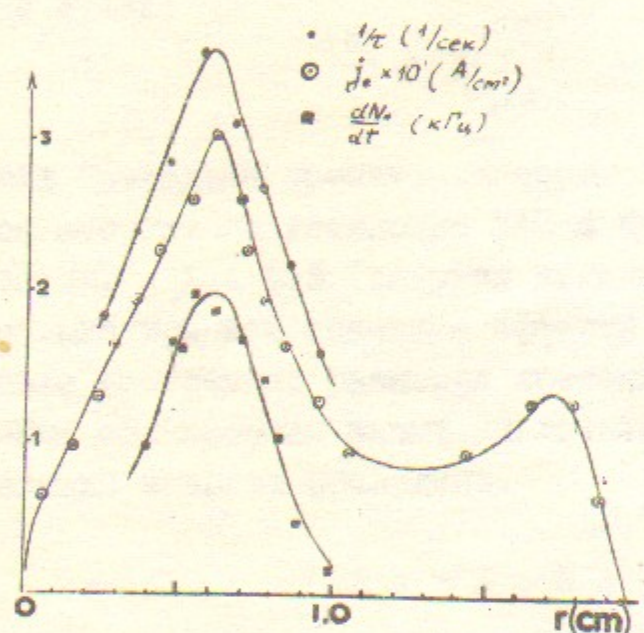


Рис.2. Сопоставление результатов измерений распределения плотности электронов j_e по радиусу и зависимости времени охлаждения T_e и потока нейтральных атомов водорода dN/dt от положения протонного пучка внутри электронного.

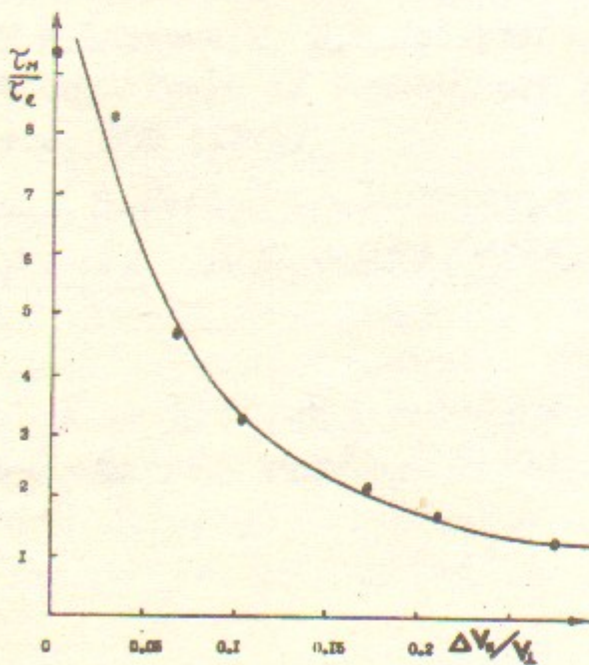


Рис.3. Зависимость отношения расчетного значения времени охлаждения T_m к экспериментальному T_e от разброса продольных скоростей электронов ΔV_e (в единицах разброса поперечных скоростей ΔV_1).

Работа поступила - 26.7-1976г.

Ответственный за выпуск - С.Г.ПОПОВ
Подписано к печати 28.9-1976г. № 02986
Усл. 0,6 печ.л., 0,5 учетно-изд.л.
Тираж 200 экз. Бесплатно
Заказ № 92.

Отпечатано на ротапринте ИЯФ СО АН СССР